

Voxelización de sólidos mediante instanciación de geometría

J.M. Noguera, A.J. Rueda, C.J. Ogáyar y R.J. Segura

Depto. de Informática, Escuela Politécnica Superior, Universidad de Jaén
Campus Las Lagunillas, Edificio A3, 23071 Jaén, Spain
{jnoguera, ajrueda, cogayar, rsegura}@ujaen.es

Resumen

En este artículo analizamos un algoritmo para calcular la voxelización de un sólido que es simple, eficiente, robusto y que aprovecha gran parte del potencial del hardware gráfico 3D. La nueva generación de hardware gráfico ha aportado innovadoras características tales como la instanciación de geometría y el procesador de geometría. Describimos cómo estas nuevas características pueden emplearse para implementar de manera sencilla y eficiente un algoritmo de voxelización. Se consigue así reducir el tiempo necesario para subir el modelo a la GPU. Se presentan dos implementaciones del algoritmo. La primera hace uso de la instanciación de geometría, y la segunda emplea conjuntamente la instanciación y el procesador de geometría.

Categories and Subject Descriptors (according to ACM CCS): I.3.1 [Computer Graphics]: Graphics processors I.3.5 [Computer Graphics]: Curve, surface, solid, and object representation

1. Introducción

La representación basada en vóxeles tiene una gran importancia en aplicaciones tales como visualizaciones médicas o para visualizar objetos que difícilmente se pueden representar a partir de sus fronteras, tales como humo o fuego. Además los vóxeles son entidades tridimensionales que pueden almacenar información volumétrica, al contrario que las representaciones basadas en fronteras (tales como mallas) que tan solo describen la superficie de los objetos. Las representaciones basadas en vóxeles ofrecen información de cómo se dispone la materia en el espacio.

La voxelización de un sólido consiste en convertir un objeto desde su representación geométrica continua a un conjunto de vóxeles que lo aproximen [KCY93]. En [ORSF07] se describe un método de voxelización basado en GPU capaz de trabajar con una amplia variedad de objetos poliédricos, con o sin agujeros, con autointersecciones y que es capaz de calcular la voxelización del interior del objeto. En este artículo describiremos cómo se puede extender este método para explotar las nuevas características presentadas en la

serie 8 de GPUs NVIDIA GeForce: la instanciación de geometría y el procesador de geometría.

El resto del artículo se estructura de la siguiente manera. La sección 2 resume la literatura existente sobre técnicas de voxelización aceleradas por hardware. La sección 3 describe el trasfondo teórico y el algoritmo básico de voxelización empleado. En la sección 4 se explica el concepto de instanciación de geometría y procesador de geometría. La sección 5 se centra en describir las diferentes implementaciones aceleradas por hardware del algoritmo. Los resultados experimentales se muestran en la sección 6. Por último, en la sección 7 se exponen las conclusiones de nuestro trabajo.

2. Trabajo previo

En los últimos años se ha comenzado a emplear el hardware gráfico para calcular rápidamente la voxelización de sólidos. Tanto Fang y Chen [FC00] como Karabassi et al. [KPT99,PKT04] ofrecen métodos acelerados por hardware que calculan la voxelización en el interior del sólido. Por desgracia, no funcionan

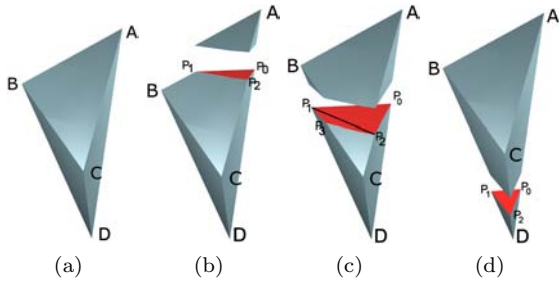


Figura 1: Divisi3n de un tetraedro en lonchas.

en cualquier tipo de s3lidos, por lo que no pueden considerarse m3todos de voxelizaci3n generales.

Otros autores como Li et al. [LFWK05] o Eise-mann [ED06] ofrecen algoritmos de voxelizaci3n por hardware muy r3pidos, pero que en cambio tan solo voxelizan la frontera del objeto, y no su interior.

Rueda et al. [ORSF07] propuso un algoritmo de voxelizaci3n robusto que puede ser implementado eficientemente en la GPU.

3. Algoritmo de voxelizaci3n

La base te3rica del algoritmo de voxelizaci3n reside en el test de inclusi3n de Feito et al. [FT97].

Lema 3.1 Dado un punto origen arbitrario O y un poliedro G definido por sus caras triangulares f_0, f_1, \dots, f_n , y sea $S = T_1, T_2, \dots, T_n$ el recubrimiento de G mediante s3mplices 3D (tetraedros) T_i definidos por O y la cara triangular f_i . Entonces un punto P estar3 dentro de G si est3 incluído en un n3mero par de tetraedros de S . Este lema se demuestra en [ORSF07].

El algoritmo de voxelizaci3n de poliedros definidos por caras triangulares consiste en establecer un punto como el origen O (generalmente el centroide), construir el conjunto de tetraedros S y rasterizarlos en un *buffer de presencia*. El estado final de este *buffer* representa la voxelizaci3n del poliedro.

Un *buffer* de presencia es un vector 3D de valores de presencia con la misma dimensi3n que el espacio de v3xeles. Cada voxel tiene asociado un valor de presencia, que se representa mediante un bit. Un valor 1 significa que el voxel pertenece al s3lido, mientras que 0 significa lo contrario. La rasterizaci3n de los tetraedros se realiza invirtiendo todos los valores de presencia recubiertos por el tetraedro. El lema 3.1 garantiza que el contenido final del *buffer* es la voxelizaci3n del objeto.

En [ORSF07] se propuso un algoritmo que consiste en procesar sucesivas lonchas de un tetraedro. Sea

Punto	$A_y > y_s \geq B_y$	$B_y > y_s \geq C_y$	$C_y > y_s \geq D_y$
P_0	\overline{AD}	\overline{AD}	\overline{AD}
P_1	\overline{AB}	\overline{BD}	\overline{BD}
P_2	\overline{AC}	\overline{AC}	\overline{CD}
P_3	-	\overline{BC}	-

Tabla 1: Aristas empleadas para la interpolaci3n de puntos dependiendo de la posici3n relativa del plano de corte.

$\triangle ABCD$ un tetraedro arbitrario. El m3todo consiste en cuatro pasos:

1. Escoger una direcci3n para los cortes. Asumiremos que el corte en lonchas se realiza desplazando el plano a lo largo del eje y . Ordenar los v3rtices del tetraedro por sus coordenadas y . Sea A el v3rtice con mayor coordenada y , B el siguiente y as3 con C y D (ver figura 1a). El proceso comienza con $y_s = A_y$ y termina cuando $y_s = D_y$.
2. Procesar las intersecciones del tetraedro con el plano de corte actual. Notaremos estos puntos como P_0, P_1, P_2, P_3 , como se muestra en la figura 1b. Estas intersecciones se pueden procesar por una simple interpolaci3n lineal o aplicando un c3lculo incremental. La tabla 1 muestra las aristas que se deben emplear para procesar estos puntos, dependiendo del valor de y_s . N3tese que el punto P_3 tan solo aparece en el intervalo $B_y > y_s \geq C_y$, tal y como se ve en la figura 1c.
3. Voxelizar la loncha y_s del tetraedro. Esto se puede realizar mediante un escaneado del tri3ngulo $\triangle P_0P_1P_2$ mostrado en la figura 1b. En el intervalo $B_y > y_s \geq C_y$, un segundo tri3ngulo $\triangle P_3P_2P_1$ se debe de procesar (ver figura 1c). Durante esta operaci3n, los valores de presencia de todos los v3xeles x, y_s, z cubiertos por los tri3ngulos se deben intercambiar.
4. Decrementar y_s y repetir los pasos 2 y 3 hasta que $y_s = D_y$.

4. Procesador de geometr3a e instanciaci3n

El procesador de geometr3a [BL06] es una nueva caracter3stica de la serie 8 de NVIDIA GeForce, que permite la creaci3n din3mica de geometr3a en la GPU. Hasta ahora, el hardware gr3fico solo ten3a la habilidad de manipular datos ya existentes en la GPU. Pero con la llegada del procesador de geometr3a, la GPU es capaz de crear y destruir v3rtices en el procesador de v3rtices. Esto permite la creaci3n de nuevas primitivas gr3ficas, tales como pixels, l3neas y tri3ngulos a partir de aquellas primitivas que fueron enviadas al principio del cauce gr3fico.

Los programas del procesador de geometr3a se ejecutan despu3s del procesado de v3rtices y toman como entrada una primitiva completa. Por ejemplo, cuando trabajamos con tri3ngulos, los tres v3rtices son enviados como entrada al procesador de geometr3a. 3ste puede emitir cero o m3s primitivas, que son rasterizadas hasta que finalmente sus fragmentos son enviados al procesador de fragmentos.

Usos t3picos del procesador de geometr3a incluyen la teselaci3n de geometr3a, c3lculo de sombras volum3tricas generadas en la GPU, etc.

Por otro lado, la instanciaci3n de geometr3a [Car05] permite el procesado de m3ltiples instancias de un objeto con una 3nica llamada a una funci3n de dibujado. Es decir, se env3a una 3nica malla a la GPU, y 3sta se encarga de replicarla tantas veces como se le solicite. Cada uno de los v3rtices as3 generados provoca una ejecuci3n del procesador de v3rtices. A tal fin, OpenGL proporciona una extensi3n para trabajar con esta caracter3stica (*GL_EXT_draw_instanced*) [Gol06]. Mediante esta extensi3n podemos emplear una nueva funci3n, llamada *DrawArraysInstancedEXT*. Esta funci3n se comporta de forma an3loga a *DrawArrays* con la diferencia de que admite un nuevo par3metro que indica el n3mero de instancias a dibujar.

Toda la informaci3n de los v3rtices est3 duplicada para cada malla instanciada, por lo que es necesario procesar individualmente cada una de dichas mallas para producir el efecto de repetici3n requerido. Para ello, a cada instancia se le proporciona una 3nica variable identificadora de instancia (llamada *gl_InstanceID* en GLSL) que puede ser empleada para procesar de forma distinta cada instancia, generalmente aplicando una transformaci3n.

Esta t3cnica se emplea principalmente para objetos tales como 3rboles, hierba o edificios que pueden ser representados mediante la misma geometr3a sin parecer toscamente repetidos.

5. Implementaciones del algoritmo

5.1. Implementaci3n en GPU previa

La soluci3n en GPU propuesta en [ORSF07] emplea un programa de v3rtices que calcula las posiciones de los puntos P_0, P_1, P_2, P_3 para un tetraedro y una loncha dados. Para ello se emplea interpolaci3n lineal en funci3n de la arista que corresponda, tal y como se muestra en la tabla 1. Por cada loncha y para cada tetraedro se env3an los dos tri3ngulos $\triangle P_0P_1P_2$ y $\triangle P_3P_2P_1$. Cada uno de esos seis v3rtices provocan una ejecuci3n del programa de v3rtices, que desplaza el v3rtice a su posici3n correcta. Para ello, junto a cada v3rtice se ha de enviar las coordenadas de los v3rtices

del tetraedro A, B, C, D , as3 como un 3ndice del punto (0-3) y un identificador del tri3ngulo al que pertenece el punto (0 para $\triangle P_0P_1P_2$ y 1 para $\triangle P_3P_2P_1$). Por 3ltimo, tambi3n se env3a la posici3n y_s de la loncha dentro del espacio de voxels que se quiere calcular. Esta posici3n es la que se utiliza para interpolar las posiciones de todos los v3rtices en programa de v3rtices.

La desventaja de esta soluci3n es evidente. Para cada loncha es necesario enviar a la GPU la lista completa de tetraedros, codificada en un array de v3rtices. Este array almacena seis veces cada tetraedro (uno por v3rtice de $\triangle P_0P_1P_2$ y $\triangle P_3P_2P_1$), con el coste de memoria y de transferencia CPU-GPU que eso conlleva. Este array debe de mantenerse almacenado en memoria principal durante toda la ejecuci3n del algoritmo.

Este esquema se muestra en la figura 2a.

5.2. Implementaci3n en GPU mediante instanciaci3n de geometr3a

Los problemas comentados en la secci3n anterior pueden superarse haciendo uso de las nuevas caracter3sticas de la serie 8 de NVIDIA GeForce. La t3cnica propuesta consigue alcanzar dos fines. Primero, minimizar el tama1o de las estructuras en memoria necesarias, reduciendo as3 el tr3fico CPU-GPU. Y segundo, aprovechar las nuevas caracter3sticas del hardware para simplificar el algoritmo.

Para ello hacemos uso de la instanciaci3n de geometr3a. En esta implementaci3n, tan solo se env3an al cauce gr3fico dos tri3ngulos por loncha. La GPU se encarga de generar tantas copias de los tri3ngulos como sean necesarias (dos tri3ngulos por tetraedro). En las coordenadas de cada v3rtice se indican un 3ndice del punto (0-3) y un identificador del tri3ngulo al que pertenece el punto (0-1). Este esquema se muestra en la figura 2b.

N3tese que todos los tri3ngulos instanciados son iguales, por lo que no es posible pasar los tetraedros como par3metro de los v3rtices. En lugar de ello, se genera una textura 2D de flotantes que contiene todos los v3rtices de los tetraedros.

Esta textura almacena consecutivamente los v3rtices A, B, C, D de cada uno de los tetraedros del objeto a voxelizar, apareciendo ordenados en cada tetraedro por su coordenada y . Cada texel de la textura contiene tres flotantes (RGB), lo que permite almacenar las coordenadas X,Y,Z del v3rtice de un tetraedro. Para cada tetraedro se necesitan cuatro texels. El tama1o m3ximo de textura permitido nos limita la complejidad de la geometr3a que podemos representar

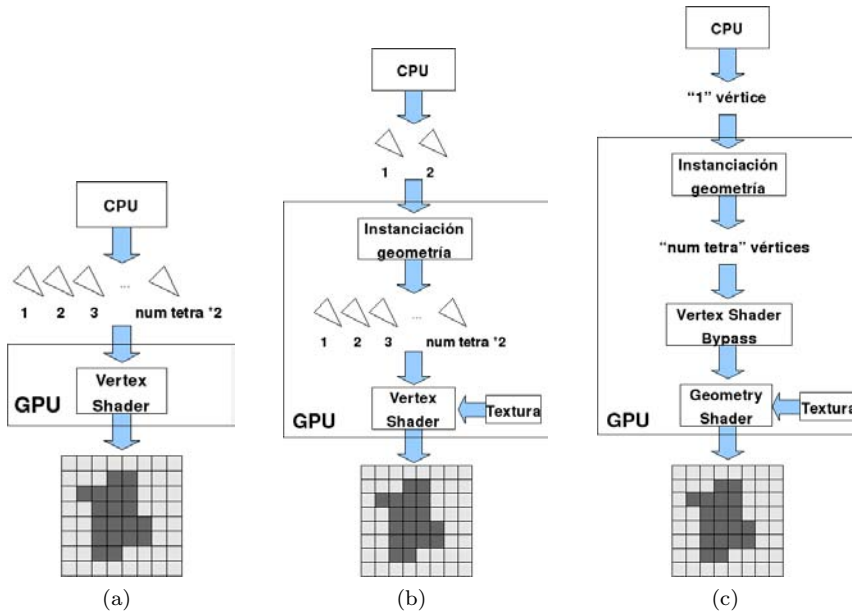


Figura 2: Distintas soluciones estudiadas.

en textura. Una textura de 4096^2 nos permite trabajar con modelos de m3s de cuatro millones de tri3ngulos.

La textura es enviada una 3nica vez a la GPU, en donde se almacena y es reutiliza para el procesamiento de cada loncha. De esta forma, tan solo se ha de enviar la geometr3a a la GPU una vez, y no sucesivas veces por cada loncha. Una vez enviada la textura a la GPU puede liberarse su espacio de la memoria principal.

Un programa de v3rtices recibe los puntos instanciados, as3 como el identificador de instancia $gl_InstanceID$ para cada uno. Empleando este identificador como 3ndice dentro de la textura, se extraen los v3rtices A, B, C, D correspondientes y los usamos para desplazar el punto a su posici3n correcta.

Esta versi3n del algoritmo funciona como sigue:

1. Crear la textura, que almacena los v3rtices A, B, C, D de cada tetraedro, y enviarla a la GPU.
2. Inicializar y_s al tama1o del espacio de v3xeles.
3. Crear un array de v3rtices que almacene 3nicamente dos tri3ngulos, $\triangle P_0P_1P_2$ y $\triangle P_3P_2P_1$.
4. Limpiar el *framebuffer* y establecer la operaci3n l3gica por p3xel a GL_XOR .
5. Establecer como variables uniformes y_s y el tama1o de la textura. Enviar el array de v3rtices a la GPU con *DrawArraysInstancedEXT*, indicando que se cree una instancia por cada tetraedro.
6. Copiar el resultado del *framebuffer* a memoria principal de la CPU.
7. Decrementar y_s y volver al paso 4 hasta $y_s = 0$.

5.3. Implementaci3n en GPU mediante el procesador de geometr3a

Cuando un tetraedro no interseca a la loncha actual, los tri3ngulos $\triangle P_0P_1P_2$ y $\triangle P_3P_2P_1$ deben descartarse. Las implementaciones anteriores, debido a la imposibilidad de detener el cauce, recurr3an a trasladarlos a posiciones alejadas para que fueran recortados en etapas posteriores.

Mediante el uso conjunto de la instanciaci3n y del procesador de geometr3a, podemos solventar este problema. Este esquema se muestra en la figura 2c. El c3digo completo en GLSL de esta propuesta se muestra en los listados 1 y 2.

En esta implementaci3n, en cada loncha tan solo es necesario enviar a la GPU el tama1o de la textura, el valor y_s y un 3nico v3rtice. Las coordenadas del v3rtice son intrascendentes. Dicho v3rtice se env3a con la funci3n *glDrawArraysInstancedEXT*, indicando que se instancie una vez por cada tetraedro (ver listado 1). Esto provoca una ejecuci3n del procesador de geometr3a por cada tetraedro. N3tese que tan solo se puede acceder a la variable $gl_InstanceID$ desde el procesador de v3rtices, por lo que necesitamos ejecutar un peque1o programa de v3rtices que copie ese valor a una de las coordenadas del v3rtice.

El programa de geometr3a del listado 2 toma como entrada un v3rtice, y genera como salidas:

- Dos tri3ngulos, si $B_y > y_s \geq C_y$.

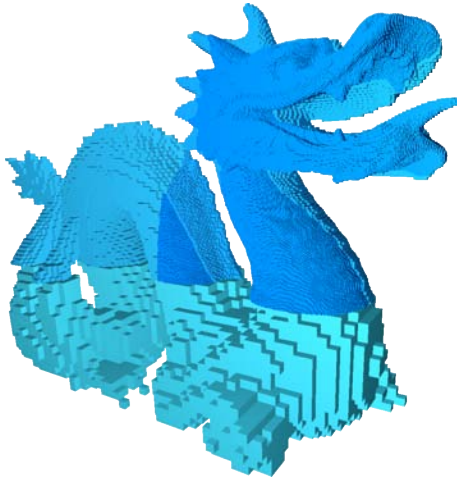


Figura 3: Ejemplo de descomposición espacial (árbol-*kd*). Cada región se ha voxelizado a distinta resolución.

- Un triángulo si $A_y > y_s \geq B_y$ o $C_y > y_s \geq D_y$
- Nada, si y_s no está entre A_y y D_y .

Los triángulos salen del procesador de geometría con sus vértices interpolados según la arista y loncha a la que pertenecen. La información de los tetraedros se recupera de textura, de forma análoga a la implementación de la sección anterior.

Si la loncha está comprendida en el intervalo $A_y > y_s \geq D_y$, se interpolan los valores de los vértices P_0, P_1, P_2 y se emiten, generando el triángulo $\triangle P_0 P_1 P_2$. A partir de los tres primeros vértices emitidos, cada nuevo vértice que se emita genera un nuevo triángulo. Por tanto, si la loncha está comprendida en el intervalo $B_y > y_s \geq C_y$, se interpola el cuarto vértice P_3 y se emite, dando lugar al triángulo $\triangle P_3 P_2 P_1$.

Gracias al procesador de geometría, los cálculos de interpolación que antes se hacían por vértice, ahora pueden optimizarse a nivel de primitiva. Esto permite que si el tetraedro no corta la loncha actual, puedan descartarse completamente los dos triángulos sin necesidad de enviar sus seis vértices fuera del volumen de vista. Tan solo se genera aquella geometría que es estrictamente necesaria, evitando cálculos innecesarios en etapas posteriores.

5.4. Mejoras

El uso de la instanciación de geometría nos permite realizar múltiples voxelizaciones de un mismo modelo sin necesidad de transferir su geometría a la tarjeta de vídeo más de una vez. Además, el algoritmo permite de forma sencilla voxelizar partes concretas del modelo a

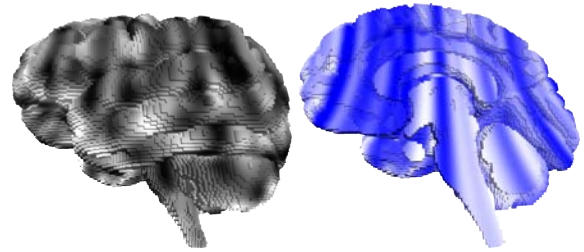


Figura 4: Uso de un generador de ruido de Perlin para asignar un color a cada vóxel.

distinta resolución sin más que ajustar los parámetros de la cámara adecuadamente.

Para restringir la voxelización a una región concreta del modelo es necesario:

- Fijar los planos que delimitan el volumen de visión para que las regiones que no se desean voxelizar queden fuera y sean recortadas por el hardware.
- Limitar el recorrido realizado por el plano de loncheado y_s al intervalo deseado.
- Variando el tamaño de la ventana de visión podemos ajustar la resolución de la voxelización.

Este método nos posibilita la construcción de estructuras de descomposición espacial (por ejemplo, los *octrees*) empleando la GPU y reduciendo el flujo de datos CPU-GPU a un solo vértice por loncha.

La figura 3 muestra un ejemplo de construcción de un árbol-*kd* en la GPU mediante instanciación de geometría. La resolución de la voxelización para cada nivel del árbol mostrado es 64, 128, 256 y 512.

Ambos métodos de voxelización descritos en este artículo permiten el uso de un programa de fragmentos para asignar propiedades a cada vóxel de forma eficiente. La figura 4 muestra el resultado de añadir a nuestro algoritmo un generador de ruido de Perlin 3D implementado en el procesador de fragmentos [Gre05].

6. Resultados experimentales

Hemos comparado las tres versiones del algoritmo (procesador de vértices, procesador de vértices con instanciación y procesador geometría). Para una comparativa de este algoritmo con otros algoritmos de distintos autores, véase [ORSF07]. Todas las implementaciones han sido realizadas en C++ y OpenGL Shading Language (GLSL), empleando el mismo compilador y optimizaciones. Las pruebas se ejecutaron en un Intel Core2 CPU 6600 2.40GHz con una GeForce 8800GTS bajo GNU/Linux. La versión del driver de NVIDIA empleada es la 169.09.

Modelo	Triang.	64 ³			128 ³		
		Previo	Instan	Geom	Previo	Instan	Geom
Torusknot	1200	0.0059	0.0082	0.0110	0.0173	0.0228	0.0273
Depot	10591	0.0241	0.0303	0.0500	0.0519	0.0654	0.1031
Bunny	69451	0.1340	0.1647	0.3522	0.2734	0.3241	0.7009
Dragon	871414	1.6386	1.8958	3.1970	3.2827	3.7640	6.3717
Buddha	1087716	7.5814	2.4506	3.9627	15.1674	4.7794	7.7655
Camera	2171026	15.3782	4.7577	7.8783	30.5920	9.3936	15.6449

Modelo	Triang.	256 ³			512 ³		
		Previo	Instan	Geom	Previo	Instan	Geom
Torusknot	1200	0.0773	0.0856	0.0970	0.5945	0.6043	0.6280
Depot	10591	0.1470	0.1724	0.2474	0.7371	0.7802	0.9216
Bunny	69451	0.5890	0.6832	1.4359	1.6176	1.7755	3.2680
Dragon	871414	6.6063	7.5347	12.7461	13.6529	15.7955	25.9143
Buddha	1087716	30.3766	9.4721	15.4752	61.2425	19.2438	31.2062
Camera	2171026	61.3413	18.6991	31.2532	122.9660	38.0506	63.0984

Tabla 2: Tiempo de voxelización (en segundos) de las tres implementaciones GPU del algoritmo: en procesador de vértices (previo), con instanciación de geometría (Instan), y en procesador de geometría con instanciación (Geom). Las resoluciones de voxelización son 64³, 128³, 256³ y 512³.

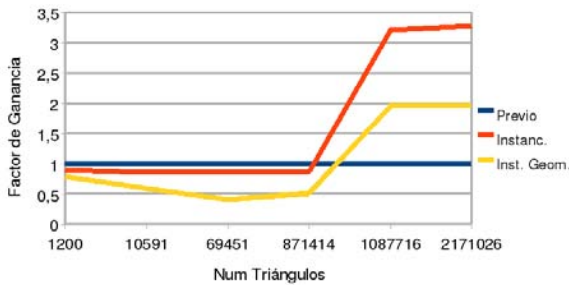


Figura 5: Ganancias en tiempo para la resolución de 256² y los distintos modelos empleados.

La tabla 2 muestra los tiempos invertidos por cada implementación en calcular la voxelización de los modelos de prueba a distintas resoluciones. La figura 6 muestra los modelos empleados.

La principal ventaja del uso de la instanciación de geometría es que se consigue reducir el tiempo necesario en subir el modelo en cada loncha, lo que repercute en mejores tiempos. La ganancia es mayor cuanto más complejo es el modelo a voxelizar.

La gráfica 5 muestra la ganancia obtenida por las dos implementaciones propuestas frente a la versión previa sin instanciación. Puede apreciarse como la versión previa se satura a partir del millón de triángulos. Ello se debe a que la necesidad de enviar toda la geometría en cada loncha constituye un cuello de botella

al trabajar con modelos complejos. En cambio, con el uso de la instanciación de geometría se elimina esta necesidad, y el algoritmo ofrece mejores resultados en modelos complejos.

Nótese que la versión que emplea procesador de geometría no obtiene mejores tiempos pese a ser capaz de descartar del cauce gráfico aquellos tetraedros que no interesen el plano de corte.

Se han realizado experimentos eliminando el acceso a textura de ambas soluciones propuestas y asignando valores fijos a las coordenadas de los tetraedros. En este escenario, los tiempos obtenidos por ambas soluciones son prácticamente idénticos. De ello se desprende que el acceso a textura desde el procesador de geometría está peor optimizado que desde el procesador de vértices. Estos experimentos también demuestran que descartar una primitiva del cauce gráfico no aporta un beneficio considerable frente a dejarla terminar.

Otro detalle a considerar es el consumo de memoria. Ambas versiones que emplean instanciación almacenan la geometría del objeto en textura. Una vez enviada la textura a la GPU, el espacio de ésta puede liberarse de la memoria principal. Cada triángulo del objeto forma un tetraedro, y para cada tetraedro se debe almacenar sus cuatro puntos. Por ejemplo, el modelo del dragón (871414 triángulos) ocupa casi 40 MB (asumiendo que un flotante ocupa 4 bytes). Podemos almacenarlo en una textura RGB de flotantes de 2048², cuyo tamaño es de 48 MB. Puesto que la GeForce 8800 soporta texturas no cuadradas y de

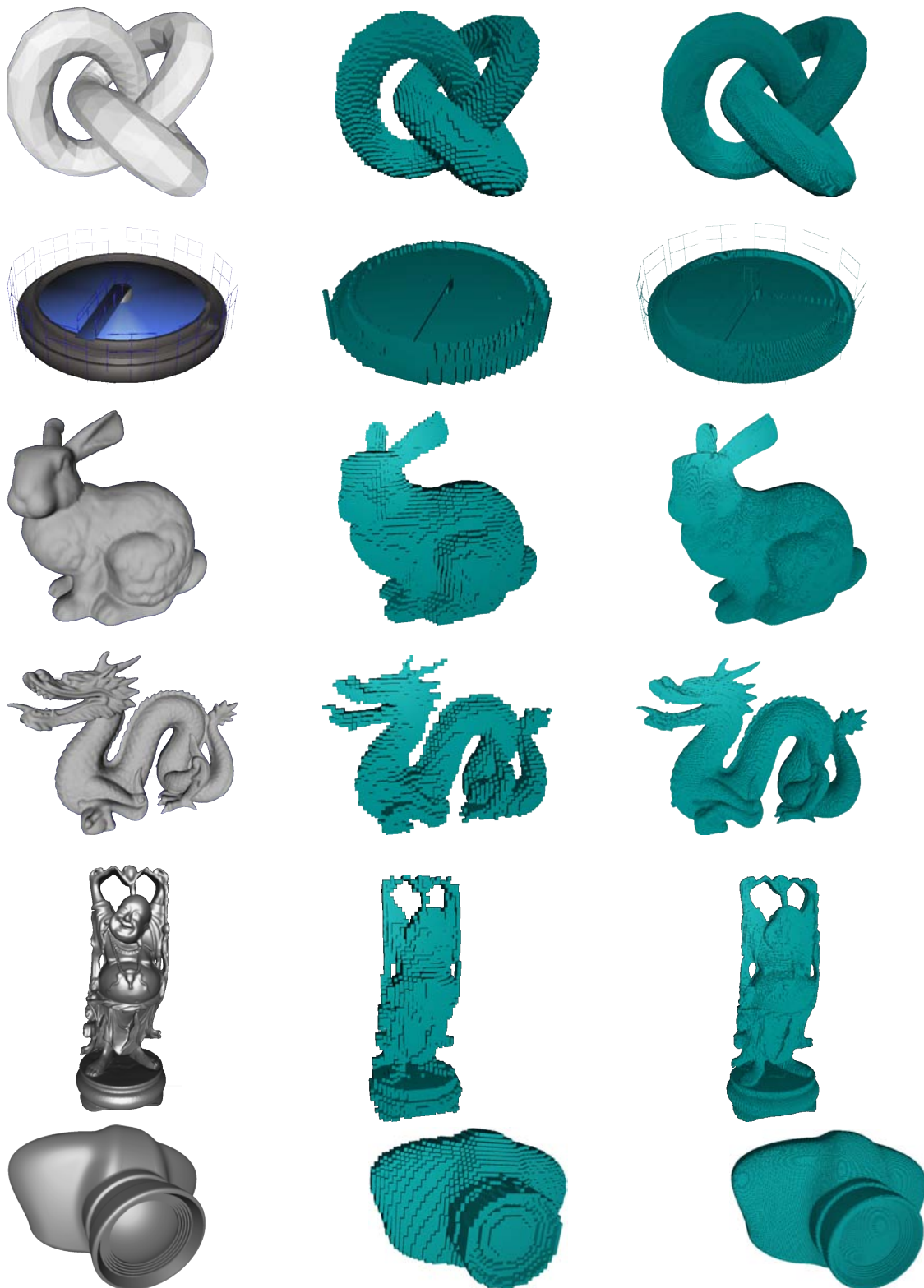


Figura 6: Modelos usados en los experimentos. Se muestra la voxelización a resoluciones de 64 y 512.

tama1o no potencia de 2, podemos ajustar el tama1o de 3sta para minimizar el espacio desaprovechado.

En cambio, en la versi3n previa en GPU, tal y como se explica en la secci3n 5.1, se requiere almacenar un array de v3rtices que contenga la lista completa de tetraedros seis veces. Para el caso del drag3n, son necesarios 239 MB, que no podr3n liberarse mientras dure el proceso.

7. Conclusi3n

En este art3culo hemos demostrado c3mo el uso de las caracter3sticas a1n poco explotadas de las nuevas tarjetas gr3ficas (instanci3n de geometr3a, procesador de geometr3a) pueden ser empleadas para simplificar y potenciar algoritmos gr3ficos.

Gracias al procesador de geometr3a, podemos aplicar optimizaciones a nivel de primitiva. Tambi3n se elimina la necesidad de emplear complejas y poco intuitivas estructuras para enviar informaci3n a la GPU (una de las principales dificultades que encuentran los programadores de GPUs).

El uso de la instanci3n de geometr3a permite reducir en gran medida el flujo de datos CPU-GPU (uno de los cuellos de botella m3s importantes para muchas aplicaciones), lo que repercute positivamente en la eficiencia de aplicaciones como la voxelizaci3n. Adem3s se ha reducido sustancialmente el consumo de memoria.

Es de esperar que estas mismas t3cnicas puedan emplearse en otro tipo de problemas geom3tricos obteniendo los mismos beneficios.

Agradecimientos

Este trabajo ha sido parcialmente financiado por la Junta de Andaluc3a y la Uni3n Europea (FEDER), a trav3s de los proyectos P06-TIC-01403 y P07-TIC-02773; as3 como por el Ministerio de Educaci3n y Ciencia de Espa1a y la Uni3n Europea (FEDER) a trav3s del proyecto TIN2007-67474-C03.

Referencias

- [BL06] BROWN P., LICHTENBELT B.: *GL_EXT_geometry_shader4 extension documentation*. NVIDIA Corporation, 2006.
- [Car05] CARUCCI F.: *Inside Geometry Instancing*. GPU Gems 2: Programming Techniques for High-Performance Graphics and General Purpose. Addison-Wesley, 2005, pp. 47–68.
- [ED06] EISEMANN E., D3COCRET X.: Fast scene voxelization and applications. In *ACM SIGGRAPH Symposium on Interactive 3D Graphics and Games* (2006), ACM SIGGRAPH, pp. 71–78.
- [FC00] FANG S., CHEN H.: Hardware accelerated voxelization. *Computers and Graphics* 24, 3 (2000), 433–442.
- [FT97] FEITO F. R., TORRES J. C.: Inclusion test for general polyhedra. *Computers & Graphics* 21, 1 (1997), 23–30.
- [Gol06] GOLD M.: *GL_EXT_draw_instanced extension documentation*. NVIDIA Corporation, 2006.
- [Gre05] GREEN S.: *Implementing Improved Perlin Noise*. GPU Gems 2: Programming Techniques for High-Performance Graphics and General Purpose. Addison-Wesley, 2005, pp. 409–416.
- [KCY93] KAUFMAN A. E., COHEN D., YAGEL R.: Volume graphics. *IEEE Computer* 26, 7 (1993), 51–64.
- [KPT99] KARABASSI E.-A., PAPAIOANNOU G., THEOHARIS T.: A fast depth-buffer-based voxelization algorithm. *J. Graph. Tools* 4, 4 (1999), 5–10.
- [LFWK05] LI W., FAN Z., WEI X., KAUFMAN A.: *Flow simulation with complex boundaries*. GPU Gems 2: Programming Techniques for High-Performance Graphics and General Purpose. Addison-Wesley, 2005, pp. 747–763.
- [ORSF07] OG3YAR C. J., RUEDA A. J., SEGURA R. J., FEITO F. R.: Fast and simple hardware accelerated voxelizations using simplicial coverings. *Vis. Comput.* 23, 8 (2007), 535–543.
- [PKT04] PASSALIS G., KAKADIARIS I. A., THEOHARIS T.: Efficient hardware voxelization. In *CGI '04: Proceedings of the Computer Graphics International* (Washington, DC, USA, 2004), IEEE Computer Society, pp. 374–377.

Listing 1: C3digo C para configurar la ejecuci3n del programa de geometr3a

```
float s = y_max;
for(int ns=voxelSpace; ns>0; ns--, s-=intervalo){
    //establecer loncha y_s
    glUniform1f( slice, s );
    //establecer tama1o textura
    glUniform1f( textureSize, texSize );

    //enviar un punto por loncha
    glDrawArraysInstancedEXT(GL_POINTS, 0, 1, ntetra);

    //Transferir framebuffer a memoria

    //limpiar framebuffer
    glClear(GL_COLOR_BUFFER_BIT);
}
```

Listing 2: Código GLSL del programa del procesador de geometría para la voxelización

```

//GLSL version 1.20
#version 120

//New G80 extensions
#extension GL_EXT_geometry_shader4 : enable
#extension GL_EXT_gpu_shader4 : enable
#extension GL_ARB_texture_rectangle : enable

#define IN_INTERVAL(v, a, b) (a > v && v >= b)
#define INTERP(A,B,s)
    (mix (A, B, (s - A[1]) / (B[1] - A[1])))

uniform float slice;
uniform float textureSize;

uniform sampler2DRect text;

void main()
{
    vec4 tVertexA;    // Vertex 1 coordinates (bottom)
    vec4 tVertexB;    // Vertex 2 coordinates
    vec4 tVertexC;    // Vertex 3 coordinates
    vec4 tVertexD;    // Vertex 4 coordinates (top)

    float aux = gl_PositionIn[0].x * 4.0;
    float pos = floor(aux / textureSize);
    float offset = mod(aux, textureSize);

    tVertexA=texture2DRect(text,vec2(offset, pos));
    tVertexD=texture2DRect(text,vec2(offset+3.0,pos));

    gl_FrontColor = gl_FrontColorIn[0];

    vec4 p = vec4(0, 0, 0, 1);

    if(IN_INTERVAL(slice,tVertexA[1],tVertexD[1])){
        tVertexB=texture2DRect(text,vec2(offset+1.0,pos));
        tVertexC=texture2DRect(text,vec2(offset+2.0,pos));

        p.xy = INTERP(tVertexA, tVertexD, slice).xz;
        gl_Position = gl_ProjectionMatrix*p;

        //enviar P0
        EmitVertex();

        p.xy = (slice >= tVertexB[1]) ?
            INTERP(tVertexA, tVertexB, slice).xz :
            INTERP(tVertexB, tVertexD, slice).xz;
        gl_Position = gl_ProjectionMatrix*p;

        //enviar P1
        EmitVertex();

        p.xy = (slice >= tVertexC[1]) ?
            INTERP(tVertexA, tVertexC, slice).xz :
            INTERP(tVertexC, tVertexD, slice).xz;
        gl_Position = gl_ProjectionMatrix*p;

        //enviar P2
        EmitVertex();

        if(IN_INTERVAL(slice,tVertexB[1],tVertexC[1])){
            p.xy = INTERP(tVertexB, tVertexC, slice).xz;
            gl_Position = gl_ProjectionMatrix*p;

            //enviar P3
            EmitVertex();
        }
        EndPrimitive();
    }
}

```